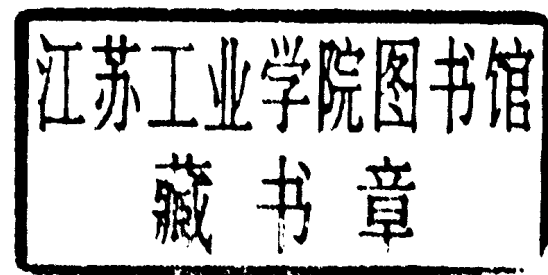


结构简化计算原理 及其应用

刘开国 著



科学出版社

1996

序

工程师们对结构的简化计算总是特别感兴趣。由于数学上的困难,纯解析的理论分析方法所解决的问题十分有限,而各种纯数值方法(有限元、有限差分法等)又基于全离散原理,对大型结构问题输入数据及计算工作量大,对计算机要求高,费用可观。因此,结构简化计算的研究,即使在有了电子计算机这一有力的分析工具的今天,依然十分必要。

我国科技界一直十分重视结构理论的研究。50年代,已故著名结构学者、中国科学院院士蔡方荫教授主持《土木工程学报》,带动了一批中青年科技工作者,开展刚构分析的理论研究和学术讨论。作者有幸参与了刚构分析的研究和讨论,并在恩师蔡方荫教授的教诲下获益良多,深知研究结构计算必须先从物理概念入手,建立数学模型,然后运用数学工具求解。这一计算方法的优点是物理概念清楚、数学求解简便。

作者曾出版《杆系与板系结构的分析方法》和《伞状折板与膜型扁壳》两种书,并在有关学术刊物发表文章,对高层、超高层、大跨度以及高耸等结构体系的简化计算进行了研究。现将80年代以来作者的部分研究成果结合国内的具体情况,撰写成本书,将结构简化计算加以小结供广大建筑科技工作者参考。

在本书的编写过程中,得到中南建筑设计院樊小卿院长的鼓励与支持,还有黄慕洁同志亦给予了极大的关怀,特在此致以衷心感谢。

(京)新登字 092 号

内 容 简 介

本书主要采用连续化的数学模型和能量变分解,个别章节采用微分方程法、加权残数法、形变法和力法等,论述了结构简化计算的基本原理(连续原理、能量原理,方差泛函变分原理等),以及在高层(框架、框-剪、剪力墙)和超高层(框筒、筒中筒、成束筒)结构简化计算、高层结构与地基基础的相互作用、大跨度空间(穹顶网壳、网架、双层扁网壳、悬索)结构简化计算、高耸(钢塔架、桅杆)结构简化计算等方面的应用。各章均附有算例说明有关应用。

本书概念清楚,计算简便,可供从事土建结构设计和力学研究的科技人员,以及高等院校有关专业的师生参考。

图书在版编目(CIP)数据

结构简化计算原理及其应用/刘开国著. -北京:科学出版社,1995

ISBN 7-03-004761-3

I. 结… II. 刘… III. 建筑结构-结构计算-计算方法
IV. TU311.4

中国版本图书馆 CIP 数据核字(95)第 15198 号

科学出版社出版

北京东黄城根北街16号

邮政编码: 100717

中国科学院印刷厂印刷

新华书店北京发行所发行 各地新华书店经售

*

1996年2月第一版 开本: 787×1092 1/16

1996年2月第一次印刷 印张: 19

印数: 1~2 570 字数: 437 000

ISBN 7-03-004761-3/TU·44

定价: 37.00 元

目 录

序

第一章 绪论

1.1 引言	1
1.2 数学模型——连续原理	2
1.3 能量原理	3
1.4 变分原理与平衡方程	5
1.5 能量变分解	6
1.6 方差泛函变分原理	7
1.7 加权残数法	9
1.8 位移函数.....	11

第二章 高层框架、框-剪和剪力墙结构

2.1 引言.....	15
2.2 高层建筑结构简化计算的研究.....	15
2.3 高层建筑结构考虑楼板变形的计算.....	28
2.4 圆弧形高层建筑结构的空间分析.....	38
2.5 高层钢框架 $P-\Delta$ 效应的简化计算	45
2.6 高层钢框架考虑节点域剪切变形的计算.....	50

第三章 超高层筒体结构

3.1 引言.....	54
3.2 高层建筑结构的能量变分解.....	54
3.3 圆形筒体结构的计算.....	64
3.4 多边形筒体结构的计算.....	69
3.5 成束筒结构的计算.....	73
3.6 考虑楼板梁作用的筒中筒结构计算.....	79
3.7 框筒结构的剪力滞后效应.....	83
3.8 框筒结构的温度效应.....	91
3.9 框筒结构的扭转效应.....	97
3.10 筒体结构的整体稳定计算.....	105

第四章 高层结构与地基基础的相互作用

4.1 引言	109
4.2 地基-基础-框架体系相互作用的计算方法	109
4.3 十字交叉弹性地基梁与空间高层框架相互作用的计算	131
4.4 高层框架与箱型基础整体计算的半解析半残数法	141

4.5 弹性地基梁与高层框架相互作用的能量变分解	152
4.6 在侧力作用下高层框架与地基基础的相互作用	160
第五章 穹顶网壳结构	
5.1 引言	167
5.2 空间杆系穹顶结构的几个计算问题	167
5.3 空间杆系穹顶结构的能量变分解	177
5.4 正三角形网格式球壳的实用计算	181
第六章 网架及双层扁网壳结构	
6.1 引言	194
6.2 四柱支承带悬挑的网架结构计算	194
6.3 双层双曲扁网壳结构的计算	199
6.4 双层双曲抛物面扁扭网壳结构的计算	206
6.5 组合型双层扁扭网壳结构的计算	210
第七章 悬索结构	
7.1 引言	215
7.2 大跨度圆形双层悬索结构的计算	215
7.3 拉索穹顶结构在轴对称荷载作用下的计算	221
7.4 索-梁屋盖结构的计算	228
7.5 斜拉屋盖结构的力法解	240
7.6 斜拉屋盖结构的变分解	245
7.7 悬挂屋盖结构分析	249
第八章 高耸及其他结构	
8.1 引言	255
8.2 高耸钢塔架结构的计算	255
8.3 高耸桅杆结构的几个计算问题	264
8.4 高低跨厂房排架的空间简化计算	272
8.5 点支承的平板计算	280
8.6 连续深梁计算	289

第一章 绪 论

1.1 引 言

一般而言,工程力学的边值问题,可以归结为微分方程的求解问题,也可以归结为泛函变分的极值或驻值的求解问题,后者称之为变分解法;这两者是等价的,又是相互可以沟通的。

然而,从求近似解的角度来看,从泛函的极值或驻值出发常常比从微分方程出发更为方便。自从电子计算机广泛应用以来,这种看法已得到国内外愈来愈多的学者赞同。因此,为了简化结构的计算,本书主要从以下两个方面入手:

一方面直接由能量泛函通过变分取其极值或驻值,寻求与之相应的微分方程的近似解法,如能量变分解^[16]。

另一方面直接由已有的微分方程,通过方差泛函变分原理去寻找它的近似解法,如加权残数法^[7,8]。

大家知道,能量原理中的最小势能原理在工程力学的变分原理中虽不是唯一的,但确实是充足的,而且具有最大的通用性,它可以处理几乎一切结构理论问题。大家也知道,有限元法正是基于变分原理,特别是采用以位移为基础的变分原理形式之后,才在实践上取得了巨大成功。和有限元法一样,本书提出的简化计算法,也是采用以位移为基础的变分原理形式;但不同的是:

(1) 有限元法采用离散化的数学模型;而本书采用连续化的数学模型,即根据连续原理将杆系结构化为连续体结构。

(2) 有限元法是在单元上选择位移函数,只要求该函数在单元内部或单元之间的界面上满足一定的条件;而本书是在整个结构的求解域上选择位移函数,并要求该函数在域内(含域与域之间的交界上)或域的边界上均满足一定的条件。

总之,本书的理论基础是连续原理、能量原理和方差泛函变分原理。书中所提出的简化计算法,理论严谨,物理概念清楚,数学求解简便,应用范围广泛,一般只需解少数联立方程式,手算或电算均很方便。

一个抓住问题本质的简化法,即使在有了电子计算机这一有力的计算工具的今天,依然是结构工程师们乐于采用的。特别是在结构方案比较和初步设计时,简化法仍然具有不可替代的意义,因为它能提供比较清晰的受力概念。此外,对于较规则的结构体系,简化法已完全可以提供符合设计需要的较满意而完整的计算结果。

为了便于读者阅读本书,现将全书涉及的有关问题,包括连续原理、能量原理、变分原理与平衡方程、能量变分解、方差泛函变分原理、加权残数法及位移函数等,综合论述于本章各节。

1.2 数学模型——连续原理

正如前述,本书主要采用连续化的数学模型,即根据连续原理将杆系结构化为连续体结构。例如:在高层结构计算中,将框筒的四周框架模拟为四块等效的均质正交板,将圆筒的周边框架模拟为等效的圆柱壳;在空间结构计算中,将网架模拟为等效的夹层板,将网壳模拟为等效的夹层壳;在高耸结构计算中,将钢塔架模拟为等效的剪弯悬臂杆等。

现将本书部分数学模型的等效刚度推导如下,其他数学模型的等效刚度将在有关章节中介绍。

1. 框筒结构

由连续原理可导得框筒的等效连续体的折算厚度 t 和折算剪切模量 G 。取等效单元如图 1.1 所示,图中 h 为层高, s 为柱间距, I_b 和 I_c 分别为梁及柱的截面惯性矩。

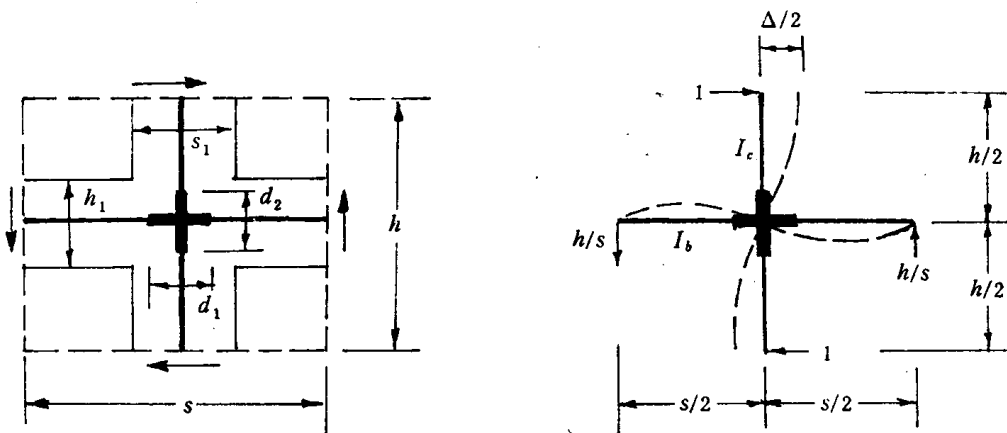


图 1.1

由框架柱的轴向劲度等于拟板的竖向劲度,则 $AE=stE$,故

$$t = A/S \quad (1.1)$$

式中, A 及 E 分别为柱的截面面积及材料弹性模量。

由框架的剪切劲度等于拟板的剪切劲度,用图乘法不难求得

$$\Delta = \frac{2}{3} \left(\frac{h - d_2}{2} \right)^3 \frac{1}{EI_c} + \frac{2}{3} \frac{(s - d_1)^2 h^2}{(2s)^2} \left(\frac{s - d_1}{2} \right) \frac{1}{EI_b}$$

将在层高 h 范围内产生一单位剪变(即 $\frac{\Delta}{h}=1$)所需之剪力定义为抗剪劲度 GA ,则 $GA=h/\Delta$,故

$$\frac{G}{E} = \frac{\frac{s_1^2 h}{(h - d_2)^3}}{1 + \frac{(s - d_1)^2 h^2 I_c}{(h - d_2)^3 s^2 I_b}} \quad (1.2)$$

式中

$$d_1 = s_1 - h_1/2 \quad \text{及} \quad d_2 = h_2 - s_1/2$$

2. 网架结构

根据连续原理将网架上(下)弦分别假定为不厚的上(下)表层,它们只能承受层内的平面力而不能承受横向剪力;将网架的腹杆视为厚度等于网架高度 h 的夹心层,它只能承受横向剪力而不能承受平面力。换言之,上下表层只具有层内平面刚度而忽略其横向剪切刚度;夹心层只具有横向剪切刚度而忽略其平面刚度。

现以两向正交正放网架为例,取单元平面桁架如图 1.2 所示。图中 A_a 、 A_b 、 A_c 和 A_d 分别为桁架上弦、下弦、斜杆和竖杆的截面面积,则桁架的惯性矩 I 和抗弯刚度 D ,为:

$$I = \frac{A_a A_b h^2}{A_a + A_b} \quad (1.3)$$

$$D = EI/s$$

$$\Delta_{11} = \delta_d + \delta_c / \sin \theta = s \left(\frac{\tan \theta}{EA_d} + \frac{1}{EA_c \sin^2 \theta \cos \theta} \right)$$

式中, E 为材料弹性模量。

对于一块平面大小为 $s \times h$ 的正交异性夹心层,在相应的一对单位横向力作用下,其相对竖向位移 $\bar{\Delta}_{11}$ 为

$$\bar{\Delta}_{11} = \frac{s}{c \cdot s} = \frac{1}{c}$$

由 $\Delta_{11} = \bar{\Delta}_{11}$,求得抗剪刚度

$$C = \frac{EA_c A_d \sin^2 \theta \cos \theta}{(A_d + A_c \sin^2 \theta) s} \quad (1.4)$$

1.3 能量原理

能量原理是工程力学中的一个重要原理,它的内容很广泛,本节仅对能量原理中的应变能、虚功原理及最小势能原理分别论述如下:

1. 应变能

设杆件的长度为 l , 截面面积为 A , 材料弹性模量为 E 及剪切模量为 G 。则杆件受拉(压)、剪、弯、扭等变形时的应变能 U ,可由材料力学直接写出如下:

(1) 拉(压)应变能

$$U = \int_0^l \frac{1}{2} EA \epsilon^2 dx \quad (1.5)$$

式中, ϵ 为应变, EA 为截面抗拉(压)刚度。

(2) 剪切应变能

$$U = \int_0^l \frac{1}{2} \cdot \frac{GA}{\mu} r^2 dx \quad (1.6)$$

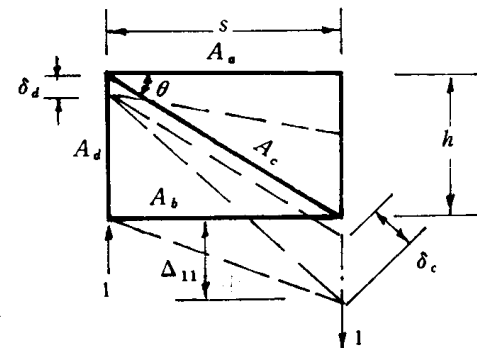


图 1.2

• 3 •

式中, r 为剪应变, GA/μ 为截面抗剪刚度, μ 为截面剪切系数。

(3) 弯曲应变能

$$U = \int_0^l \frac{1}{2} EI k^2 dx \quad (1.7)$$

式中, k 为曲率, EI 为截面抗弯刚度。

(4) 圆杆的扭转应变能

$$U = \int_0^l \frac{1}{2} GI_p \phi^2 dx \quad (1.8)$$

式中, ϕ 为单位长度的扭转角, GI_p 为截面抗扭刚度, I_p 为截面极惯性矩。

2. 虚功原理

试考察梁在横向分布荷载 q 作用下的平衡问题。按照力学上的一般称呼, 满足位移连续条件的位移叫做变形可能的位移, 简称可能位移。在梁的弯曲问题中只有一个广义位移 w 。因此, w 是可能挠度的充要条件是 w 和 w' 连续, 并在边界上满足有关位移的条件, 即

$$\text{在固支端上} \quad w = \bar{w} \quad \frac{dw}{dx} = \bar{\phi}$$

$$\text{在简支端上} \quad w = \bar{w}$$

与可能挠度相应的曲率, 称为可能曲率。

又按照力学上的一般称呼, 与某种外力保持平衡的内力, 称为与此种外力相应的静力可能的内力, 简称可能内力。在梁的弯曲问题中, 内力有弯矩 M 和剪力 Q 两个。组成一组可能内力的充要条件是: 在梁内满足平衡方程, 即

$$Q = \frac{dM}{dx} - \frac{d^2M}{dx^2} = q$$

而在边界上满足有关力的边界条件, 即

$$\text{在简支端上} \quad M = \bar{M}$$

$$\text{在自由端上} \quad M = \bar{M} \quad Q = \bar{Q}$$

根据能量守恒原理, 外力在可能位移上所作之功, 等于可能内力在可能应变上所作之功。如果把边界上的支座反力(含反力矩)也视为外力, 则虚功原理在梁理论中的数学表达式为

$$\int_0^l q w dx + \left(Qw - M \frac{dw}{dx} \right) \Big|_0^l = \int_0^l \left(- M \frac{d^2w}{dx^2} \right) dx \quad (1.9)$$

这里 w 与 M 是两个任意的函数, 不一定满足

$$M = - D \frac{d^2w}{dx^2}$$

应当指出, 虚功原理的等式是极重要的数学关系式, 有了它, 其他各个能量原理将不难证明。

3. 最小势能原理

仍以梁为例, 设梁的挠度 w 满足下列微分方程及边界条件

$$\frac{d^2}{dx^2}D\left(\frac{d^2w}{dx^2}\right) = q \quad (1.10)$$

在 $x=0$, 固支

$$w = \bar{w}_0 \quad \frac{dw}{dx} = \bar{\psi}_0 \quad (1.11)$$

在 $x=l$, 简支

$$w = \bar{w}_l \quad (1.12a)$$

$$- D \frac{d^2w}{dx^2} = \bar{M}_l \quad (1.12b)$$

这里, \bar{w} 、 $\bar{\psi}_0$ 、 \bar{w}_l 、 \bar{M}_l 为已知。

把满足方程(1.10)~(1.12)的挠度叫做真实挠度, 或叫做精确解; 把满足条件式(1.11)和(1.12a), 但不管它是否满足式(1.10)和(1.12b)的挠度叫做变形可能的挠度, 简称可能挠度。

在最小势能原理中, 把外荷载看作是不变的已知量, 而把挠度看作是可变的自变量。整个系统的势能包括两部份:

$$\text{梁的应变能} \quad U_b = \frac{1}{2} \int_0^l D \left(\frac{d^2w}{dx^2} \right)^2 dx$$

$$\text{荷载的势能} \quad U_q = - \int_0^l q w dx + \bar{M}_l w'_l$$

故总势能

$$U = \int_0^l \left[\frac{1}{2} D \left(\frac{d^2w}{dx^2} \right)^2 - q w \right] dx + \bar{M}_l w'_l \quad (1.13)$$

其中除函数 w 可变之外, 其余的量都假定为已知的不变量。

最小势能原理指出, 在所有变形可能的挠度中, 精确解使总势能取最小值。

1.4 变分原理与平衡方程

大家知道, 力学中的平衡方程可以由最小势能原理导出。现以图 1.3 的拉杆为例论述如下:

总势能

$$U = \int_0^l \left(\frac{1}{2} EA \epsilon^2 - F \epsilon \right) dx = \frac{EA}{2l} u^2 - Fu \quad (1.14)$$

由 $\frac{dU}{du} = 0$, 得平衡方程

$$\frac{EA}{l} u - F = 0 \quad (1.15)$$

又 $\frac{d^2U}{du^2} = \frac{EA}{l} > 0$, 故 U 取极小值的状态, 必然是平衡状态。

因此, 力学上的平衡问题可归结为数学上的极值问题, 即变分问题

$$U = \frac{EA}{2l} u^2 - Fu = \min \quad (1.16)$$

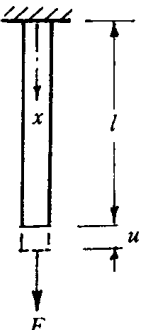


图 1.3

最小势能原理还有另一种等价形式, 即虚功原理。设平衡态位移 u 获得增量或称虚位

移 v , 而变为 $u+v$, 这时拉杆的势能由 $U(u)$ 变到 $U(u+v)$ 。由于 $U(u)$ 是 u 的二次函数, 所以

$$\begin{aligned} U(u+v) &= U(u) + U'(u)v + \frac{1}{2}U''(u)v^2 \\ &= U(u) + U'(u)v + \frac{EA}{2l}v^2 \end{aligned}$$

由此可见, U 达到极小值的充要条件是

$$U'(u)v = 0$$

即

$$\frac{EA}{l}uv - Fv = 0 \quad (\text{对一切虚位移}) \quad (1.17)$$

式(1.17)的力学意义为, 平衡位移使虚功总和等于零, 此即虚功原理。

综上所述, 下列三个问题的解是等价的:

(1) 最小势能原理:

$$U(u) = \frac{EA}{2l}u^2 - Fu = \min$$

(2) 虚功原理:

$$\frac{EA}{l}uv - Fv = 0 \quad (\text{对一切虚位移})$$

(3) 平衡方程:

$$\frac{EA}{l}u - F = 0$$

这种等价性对于一切结构的弹性平衡问题也都是普遍成立的, 不过大多数结构的平衡方程为微分方程形式。

1.5 能量变分解

不从微分方程出发, 而是直接从能量泛函的驻值条件来求得待定函数的近似值, 这就是本节将要介绍的能量泛函的变分近似解, 简称为能量变分解^[16]。

试求一个函数 w , 使其满足边界条件

$$\text{在 } x=0 \text{ 及 } x=l \text{ 处} \quad w=0, w''=0 \quad (1.18)$$

并使

$$U = \int_0^l \left[\frac{1}{2}D \left(\frac{dw}{dx} \right)^2 - qw \right] dx = \min \quad (1.19)$$

为了求近似解, 假定位移函数为

$$w = \sum_{n=1}^m C_n \phi_n \quad (1.20)$$

C_n 为待定常数, ϕ_n 为函数基并满足了式(1.18)的边界条件。这样, 把原来在相当大的范围内寻找 w 的问题, 简化为在由式(1.20)规定的小范围内寻找 w 。将式(1.20)代入式(1.19)算出积分, 泛函 U 就变成 C_n 的函数, 即

$$U(w) = U(c) = \frac{1}{2} \sum_{i=1}^m \sum_{j=1}^m K_{ij} C_i C_j - \sum_n F_n q C_n \quad (1.21)$$

其中

$$\left. \begin{aligned} K_{ij} &= \int_0^l D \frac{d^2 \phi_i}{dx^2} \cdot \frac{d^2 \phi_j}{dx^2} dx \\ F_n &= \int_0^l \phi_n dx \end{aligned} \right\} \quad (1.22)$$

原来是求 w 使 U 取驻值, 现在简化为求 C_n 使 $U(c)$ 取驻值。这样, 得到一组代数方程

$$\frac{\partial U(c)}{\partial C_i} = 0 \quad i = 1, 2, 3, \dots, m \quad (1.23)$$

即

$$\sum_{j=1}^m K_{ij} C_j - F_n q = 0 \quad i = 1, 2, 3, \dots, m \quad (1.24)$$

从这一组联立方程可解出 C_n , 将它代回式(1.20)便得到 w 的一个近似解。

位移函数的取法很多。关于这个问题可参考 1.8 节。还应指出, 本书在求解能量泛函的条件驻值问题时, 常常用到拉格朗日乘子法, 关于此法的原理可参阅文献[1, 2, 3], 兹不赘述。

例 1.1 试求两端简支梁, 在均布荷载 q 作用下的位移和内力。

取位移函数

$$w = C_1 \sin \frac{\pi x}{l} + C_3 \sin \frac{3\pi x}{l}$$

此函数满足了简支梁的边界条件: 在 $x=0, x=l$ 处, $w=0, w' \neq 0$ 。由式(1.21)得

$$U = \frac{\pi^4 D}{4l^3} (C_1^2 + 81C_3^2) - \frac{2ql}{\pi} (C_1 + \frac{1}{3}C_3)$$

则

$$\begin{aligned} \frac{\partial U}{\partial C_1} &= \frac{\pi^4 D}{2l^3} C_1 - \frac{2ql}{\pi} = 0 \\ \frac{\partial U}{\partial C_3} &= \frac{\pi^4 D}{2l^3} (81C_3) - \frac{2ql}{3\pi} = 0 \end{aligned}$$

解之, 得

$$C_1 = \frac{4ql^4}{\pi^5 D} \quad C_3 = \frac{4ql^4}{243\pi^5 D}$$

进而求得

$$w_{\max} = 0.013017 \frac{q l^4}{D} \text{ 及 } M_{\max} = 0.1242 q l^2$$

结果与精确解很接近。

1.6 方差泛函变分原理

正如 1.1 节所述, 工程力学边值问题可以归结为一定边界条件和初始条件的微分方

程求解问题,这就是微分方程法。除了一些特殊情况外,微分方程法几乎不太可能求得问题的精确解。因此,为了求其近似解,可以采用加权残数法。方差泛函变分原理是加权残数法的理论基础,故本节先将方差泛函变分原理介绍如下。

如何用一种比较简单的函数(例如多项式、三角级数等)去逼近一个给定的函数,是一个最佳逼近的问题。对于函数逼近,有以下两种重要准则:一是极大极小逼近,二是平均平方逼近,后者即著名的最小平方逼近,而方差泛函变分原理就是由平均平方逼近发展而成的。

试考察方程(1.25)和(1.26)所确定的边值问题:

$$\text{微分方程 } L_m(u) = f_0 \quad \text{在 } \Omega \text{ 内} \quad (1.25)$$

$$\text{边界条件 } G_t(u) = f_t \quad \text{在 } B_t \text{ 上} \quad (1.26)$$

$$t = 1, 2, 3, \dots, m$$

其中 L_m 为 m 阶偏微分算子, G_t 为 $t-1$ 阶边界法向微分的边界算子, $f_t (t=0, 1, 2, \dots, m)$ 为给定的坐标函数, Ω 域的边界 B 为

$$B = \bigcup_{t=1}^m B_t$$

设位移函数 \bar{u} 为

$$\bar{U} = \sum_{i=1}^n C_i \phi_i \quad (1.27)$$

其中 $\{\phi\}$ 为位移函数的函数基, C_i 为相应的待定常数。

将式(1.27)代入方程(1.25)及(1.26),一般不会满足,于是分别出现的内部残差 R_I 及边界残差 R_t 为

$$R_I(\bar{u}) = L_m(\bar{u}) - f_0 \quad \text{在 } \Omega \text{ 内} \quad (1.28a)$$

$$R_t(\bar{u}) = G_t(\bar{u}) - f_t \quad \text{在 } B_t \text{ 上} \quad (1.28b)$$

所有残差的均方在对应区域上加权积分之和为 $J_R(\bar{u})$ 即

$$J_R(\bar{u}) = \int_{\Omega} b_I^2 R_I^2 d\Omega + \sum_{t=1}^m \int_{B_t} b_t^2 R_t^2 dB \quad (1.29)$$

式(1.29)为平方残差泛函,简称方差泛函,其中: b_I 为区域内相对加权系数; b_t 为边界条件相对加权系数;它与权函数 w 不同,它的作用:一是若边界条件非常重要,可以人为地增大 b_t 的值,以保证该条件的重要性;二是可以用作调整内部残差与边界残差的量纲。.

方差泛函有以下重要性质:

- (1) 方差泛函 $J_R(\bar{u})$ 有极小值,且极小值为零。
- (2) 使方差泛函取零极小值的解,等价于偏微分边界问题的解。

方差泛函极小值原理指出,在所有 u 值中,使 $J_R(u^*)$ 取极小值的解 u^* 一定是方程(1.25)及(1.26)边值问题的解,即

$$J_R(u^*) = \min J_R(\bar{u}) = 0 \quad (1.30)$$

由方差泛函极小值原理可以导得方差泛函变分原理如下:

对于线性问题,方差泛函 $J_R(\bar{u})$ 取零极小值的充要条件为变分方程

$$\delta J_R(\bar{u}) = 2 \int_{\Omega} b_I^2 R_I \delta R_I d\Omega + 2 \sum_{i=1}^m \int_B b_i^2 R_i \delta R_i dB = 0 \quad (1.31)$$

可以证明^[8], 变分方程(1.31)与边值问题(1.25)及(1.26)是等价的。

方差泛函变分原理与能量泛函变分原理在数学上非常相似, 它们都是泛函的极值原理。对于线性问题, 它们都是二次正定泛函, 而且仅当 u 为精确解时, 泛函取极小值, 泛函一次变分等于零是泛函极小值的充要条件。不同的是, 能量泛函的极小值预先不知道, 而方差泛函的极小值为零。

1.7 加权残数法

为了节省篇幅, 本节仅介绍加权残数法中精度较好的最小二乘法和伽辽金变分法。其他方法请读者参阅文献[7,8]。

按照选择的位移函数来分, 加权残数法又可分为以下三类: 内部法、边界法和混合法。所选择的位移函数式(1.27)如果能满足所有的边界条件式(1.26), 但不能满足控制微分方程(1.25), 则称为内部法。如果只能满足控制微分方程(1.25), 而不能满足所有边界条件(1.26), 则称为边界法。如果两者都不满足, 则称为混合法。

1. 最小二乘法

作为例子, 下面采用内部法, 即由式(1.29)取其 $b_I = 1, b_i = 0$, 则

$$J_R(\bar{u}) = \int_{\Omega} R_I(\bar{u}) d\Omega \quad (1.29a)$$

将式(2.27)代入式(1.29a)得

$$J_R(\bar{u}) = \int_{\Omega} \left[L_m \left(\sum_{i=1}^n C_i \phi_i \right) - f_0 \right]^2 d\Omega = J_R(c) \quad (1.32)$$

由 $\delta J_R(\bar{u}) = 0$, 得

$$\frac{\partial J_R(c)}{\partial C_i} = 0 \quad (i = 1, 2, 3, \dots, n) \quad (1.33)$$

解之可求出 C_i 。

如将式(1.33)写成加权残数法形式, 即

$$\int_{\Omega} R_I(\bar{u}) W_{I_i} d\Omega = 0 \quad (i = 1, 2, 3, \dots, n) \quad (1.34)$$

则最小二乘法的权函数

$$W_{I_i} = \frac{\partial R_I(\bar{u})}{\partial C_i} \quad (i = 1, 2, 3, \dots, n) \quad (1.35)$$

例 1.2 试用最小二乘法计算例 1.1。

取位移函数同例 1.1,

$$R_I(\bar{u}) = D \frac{d^4 w}{dx^4} - q = D \left(\frac{\pi}{l} \right)^4 \left[C_1 \sin \frac{\pi x}{l} + 81C_3 \sin \frac{3\pi x}{l} \right] - q$$

由 $\int_0^l R_I(\bar{u}) = \frac{dR_I(\bar{u})}{dc_1} dx = 0$ 得

$$D\left(\frac{\pi}{l}\right)^4\left(\frac{1}{2}C_1l\right) - \frac{2ql}{\pi} = 0$$

即

$$C_1 = \frac{4ql^4}{\pi^5 D}$$

由 $\int_0^l R_I(\bar{u}) \frac{dR_I(\bar{u})}{dC_3} dx = 0$ 得

$$D\left(\frac{\pi}{l}\right)^4\left(\frac{81}{2}C_3l\right) - \frac{2ql}{3\pi} = 0$$

即

$$C_3 = \frac{4ql^4}{243\pi^5 D}$$

结果与例 1.1 完全一样。

2. 伽辽金法

此法把位移函数式(1.27)中的 ϕ_i 作为权函数, 即

$$W_{I_i} = \phi_i \quad (1.36)$$

将式(1.36)代入式(1.34), 得伽辽金变分方程,

$$\int_a^l R_I(\bar{u})\phi_i d\Omega \quad (i = 1, 2, 3, \dots, n) \quad (1.37)$$

解之可以求出 C_i 。

例 1.3 试用伽辽金法计算例 1.1。

取位移函数同例 1.1; 权函数为函数基 $\sin \frac{\pi x}{l}$ 和 $\sin \frac{3\pi x}{l}$ 。伽辽金变分方程

$$\int_0^l R_I(\bar{u}) \sin \frac{\pi x}{l} dx = 0$$

$$\int_0^l R_I(\bar{u}) \sin \frac{3\pi x}{l} dx = 0$$

可见, 其结果与例 1.1 完全相同。

由上可知, 加权残数法具有方法简便、计算准确、工作量少、程序短易、便于应用微机等优点, 目前加权残数法在我国发展很快。

总的来说, 加权残数法是一种数学方法, 其理论基础就是方差泛函变分原理。除伽辽金法外, 其他加权残数法均无明确的物理意义, 而能量泛函具有明确的物理意义, 这一点是能量变分解的最大优点。

从物理意义的角度来看, 伽辽金变分法应属于能量原理范围。它可以从能量泛函中导得, 也可以从虚功原理导得。鹫津久一郎在文献[10]中从虚功原理导得广义伽辽金变分法, 并认为伽辽金变分法是一个基于虚功原理的近似解法。下面仍以梁的弯曲问题为例, 阐明如下。

梁的微分方程为

$$L(u) = D \frac{d^4 u}{dx^4} - q = 0 \quad (1.38)$$

伽辽金变分方程为

$$\int_0^l \left(D \frac{d^4 u}{dx^4} - q \right) w dx = 0 \quad (1.39)$$

对式(1.39)分部积分两次,得

$$\int_0^l \left[D \frac{d^2 u}{dx^2} \cdot \frac{d^2 w}{dx^2} - q \right] dx - \left[Q(u)w - M(u) \frac{dw}{dx} \right]_0^l = 0 \quad (1.40)$$

式中,

$$Q(u) = -D \frac{d^3 u}{dx^3} \quad M(u) = -D \frac{d^2 u}{dx^2}$$

式(1.40)可以写成

$$\int_0^l q w dx + \left(Q(u)w - M(u) \frac{dw}{dx} \right) \Big|_0^l = \int_0^l \left(-M(u) \frac{d^2 w}{dx^2} \right) dx \quad (1.41)$$

可见,式(1.41)与式(1.9)完全一样,这说明伽辽金法与虚功原理是等价的。在这里,对式(1.39)应从虚功原理去理解,即($D \frac{d^4 u}{dx^4} - q$)为综合力, w 为虚位移。这就是伽辽金变分法的物理概念。

3. 半解析半残数法

此法在文献[17]中首先提出并应用于上部结构与地基基础的整体计算,它充分发挥了解析法和数值法的各自优点,是一个很有发展前景的计算方法,详见本书4.4节。

1.8 位移函数

位移函数又叫试函数或坐标函数,由两部分组成,

$$\bar{u} = \sum_{m=1}^n C_m \phi_m \quad (1.27)$$

一部分为待定常数 C_m (由计算确定),另一部分为位移函数基 ϕ_m 。

位移函数的选择是一个很重要的问题。在低阶近似计算中,位移函数选取的好坏,对计算结果的精度影响很大。在高阶近似计算中,从理论上讲,不同的位移函数对计算结果影响不大,但对计算的工作量大小和计算结果收敛快慢有较大影响。

位移函数的选择还没有一种通用的方法可以遵循,主要依靠使用者的实践经验的积累。经验说明,欲求一个问题的近似解,使用者必须对这个问题的解的特点,例如微分方程的通解与特解、问题的对称性、渐近性与奇异性、边界条件情况、类似问题的解答等有较多的了解。更重要的,还须对这个结构的物理概念和变形特点有较深的了解。有了尽可能多的了解之后,使用者才能应用自如,才能选取尽可能反映这些特点的比较接近真解的位移函数。

位移函数一般应满足下列条件:

- (1) 在域内连续及 n 阶可微(n 为问题控制方程的最高阶次)。
- (2) 满足相应控制方程所需要的约束条件(如采用能量变分解,要满足位移边界条件,以及域与域之间的交界条件)。
- (3) 是完备的线性无关函数序列。
- (4) 要反映所求结构的变形规律。